

基于高阶变异的多错误定位实证研究^①



娄琨, 尚颖, 王海峰

(北京化工大学 信息科学与技术学院, 北京 100029)

通讯作者: 尚颖, E-mail: shangy@mail.buct.edu.cn

摘要: 错误定位是软件调试中最昂贵的活动之一。基于变异的错误定位 (MBFL) 技术假定被大多数失败测试用例杀死的变异体能够很好地定位错误的位置。之前的研究表明 MBFL 在单错误定位上有很好的定位效果, 但关于 MBFL 在多错误定位上的表现没有被深入研究过。近年来, 高阶变异体被提出用于构造难以被杀死的复杂错误, 但高阶变异体是否能提升 MBFL 的错误定位精度是未知的。本文中, 我们研究了一阶变异体和高阶变异体在多错误定位场景下的表现。进一步, 我们依据不同的变异位置将高阶变异体划分成 3 类: 准确高阶变异体、部分准确高阶变异体和不准确高阶变异体。探索哪类变异体在错误定位上更有效。基于 5 个程序上的实证研究, 我们发现在多错误定位场景下, 高阶变异体比一阶变异体有更好的定位效果。更进一步, 我们发现不同种类的高阶变异体的影响是不容忽视的。具体而言, 准确高阶变异体比不准确高阶变异体有更高的贡献。因此研究人员应提出更有效的方法生成这类变异体用于未来的 MBFL 研究。

关键词: 错误定位; 基于变异的错误定位; 一阶变异体; 高阶变异体

引用格式: 娄琨, 尚颖, 王海峰. 基于高阶变异的多错误定位实证研究. 计算机系统应用, 2021, 30(5):47–58. <http://www.c-s-a.org.cn/1003-3254/7942.html>

Empirical Study on Higher Order Mutation-Based Multiple Fault Localization

LOU Kun, SHANG Ying, WANG Hai-Feng

(College of Information Science and Technology, Beijing University of Chemical Technology, Beijing 100029, China)

Abstract: Fault localization is one of the most expensive activities in software debugging. The Mutation-Based Fault Localization (MBFL) assumes that the mutants killed by most of the failed test cases can provide a good indication about the location of a fault. Previous studies showed MBFL could achieve desired results in a Single Fault Localization Scenario (SFL-Scenario), but its performance in a Multiple Fault Localization Scenario (MFL-Scenario) has not been thoroughly evaluated. Recently, Higher Order Mutants (HOMs) have been proposed to model complex faults that are hard to kill, but whether HOMs can improve the performance of MBFL is still unknown. In this study, we investigate the impact of First Order Mutants (FOMs) and HOMs on MBFL in an MFL-Scenario. Moreover, we divide HOMs into three groups, i.e., accurate, partially accurate, and inaccurate HOMs, considering the mutation location in the program, to find which type of HOMs is more efficient in fault localization. Based on the empirical results on five real-world projects, we find that in an MFL-Scenario, HOMs can behave better than FOMs. The influence of the types of HOMs on the effectiveness of MBFL cannot be ignored. In particular, accurate HOMs can contribute more than inaccurate ones. Therefore, researchers should propose effective methods to generate this type of HOMs for future MBFL studies.

Key words: Mutation Based Fault Localization (MBFL); mutation testing; First-Order-Mutants (FOMs); Higher-Order-Mutants (HOMs)

① 基金项目: 国家自然科学基金 (62077003, 61902015)

Foundation item: National Natural Science Foundation of China (62077003, 61902015)

收稿时间: 2020-09-26; 修改时间: 2020-10-21, 2020-11-03; 采用时间: 2020-11-12; csa 在线出版时间: 2021-04-28

1 引言

错误定位是识别程序执行过程中导致程序失败的元素的过程^[1]. 在软件调试的众多活动中, 错误定位是其中最复杂耗时的活动之一, 尤其在大规模复杂程序中. 为了减小定位错误位置的人工成本, 研究人员提出了众多错误定位方法, 例如基于切片的方法^[2], 基于频谱的方法^[3,4], 基于变异的方法等^[5].

在众多自动化错误定位方法中, 基于频谱的错误定位 (Spectrum-Based Fault Localization, SBFL) 方法^[3,4,6]是一种被广泛应用的方法. SBFL 考虑到程序元素的二元覆盖矩阵, 但局限于其错误定位精度不高. 目前的研究显示基于变异的错误定位方法比最新的基于频谱的方法有更高的错误定位精度^[7,8]. MBFL 是一种基于变异测试^[7]的方法^[9]. 截止目前, MBFL 分为两种技术: Metallaxis-FL^[5] 和 MUSE^[9]. 研究表明^[10,11], Metallaxis-FL 的错误定位效率和效果都要优于 MUSE, 因此本文选择 Metallaxis-FL 作为 MBFL 原始方法.

在 MBFL 中, 将一个程序 p 通过简单的语法变化生成一系列错误程序 p' (也就是变异体), 生成变异体的规则被称为变异算子. 根据变异算子使用的次数, 变异体可以分成两类: 一阶变异体 (First-Order-Mutants, FOMs) 和高阶变异体 (Higher-Order-Mutants, HOMs), 其中 FOMs 是只使用一次变异算子生成, HOMs 则是通过多次使用变异算子生成^[12].

在之前的 MBFL 研究中, 只有 FOMs 用于定位单错误程序^[5,13]. 但 Xue 等^[14]发现定位多错误更有困难, 耗时且成本巨大, 同时多错误之间存在错误干扰现象, 导致现有错误定位技术的定位效果较差. 另一方面, Offutt 等^[15]发现杀死 HOMs 是否能检测出复杂错误是不确定的. 为填补这项研究内容, 我们进行了一项大规模的实证研究, 研究 HOMs 是否能提升错误定位的精度, 同时分析不同类别的 HOMs 与多错误之间的关系.

本文中, 我们着力研究 FOMs 和 HOMs 在多错误上的表现. 然后我们将 HOMs 分成三类研究不同 HOMs 分类的错误定位效果. 在我们的实验设置中, 首先应用 Agrawal 等^[16]提出的变异算子生成 FOMs, 然后根据 FOMs 构建 HOMs. 特别地, 针对多错误定位场景, 我们组合 63 个单错误程序生成 100 个多错误程序, 错误个数从 2 个至 5 个. 最后, 我们将 HOMs 分成 3 类用于比较不同类别 HOMs 的表现.

2 背景与动机

2.1 基于变异的错误定位技术

基于变异的错误定位技术是一种基于变异分析^[8]的错误定位方法. 变异分析通过对被测程序进行简单的语义改变, 生成与原始程序不同的版本. 这些人为植入错误的程序被称为变异体. 生成变异体的规则被称为变异算子. 本文采用 Agrawal 等^[16]提出的 C 语言的变异算子.

在变异分析中, 依据变异体和原始程序不同的输出, 使用变异体来评估测试用例的质量. 如果一个测试用例的执行结果不同于原始程序的结果, 那么这个变异体就被杀死, 记为 killed 或 detected, 反之称这些变异体没有被杀死, 即 not killed 或 live.

传统基于变异的错误定位技术主要包含以下 4 个步骤:

(1) 获得失败测试用例覆盖的语句: 将测试用例 T 执行被测程序 P , 获得覆盖信息和执行结果 (pass 或 fail). 然后测试用例就可以区分为通过测试用例集合 T_p 和失败测试用例集合 T_f . 被失败测试用例覆盖的语句集合记为 cov_f .

(2) 生成和执行变异体: 采用不同变异算子, 对失败测试用例覆盖的语句植入错误生成变异体. 对某一条语句 s 生成的变异体集合记为 $M(s)$. 然后将所有测试用例执行某一个变异体 m , 依据执行结果, $T_k(m)$ 为杀死变异体 m 的测试用例集合, $T_n(m)$ 为未杀死变异体 m 的测试用例集合.

(3) 计算程序语句怀疑度: 变异体的怀疑度可以用不同的 MBFL 公式计算得到, 这些公式都基于以下 4 个参数: $a_{np}=|T_n \cap T_p|$, $a_{kp}=|T_k \cap T_p|$, $a_{nf}=|T_n \cap T_f|$, $a_{kf}=|T_k \cap T_f|$. 其中, a_{np} 表示通过测试用例中未杀死变异体的数量, a_{kp} 表示通过测试用例中杀死变异体的数量, a_{nf} 表示失败测试用例中未杀死变异体的数量, a_{kf} 表示失败测试用例中杀死变异体的数量. 表 1 列举了 3 个研究人员常用的怀疑度计算公式 (Ochiai^[17], Tarantula^[18], Dstar^[19]). 本文的实验中使用 Ochiai 作为 MBFL 公式, 因为其在 MBFL 研究中被广泛使用^[5,9], 且效果好于其他公式^[13]. 计算完变异体的怀疑度, 将某条语句对应的变异体集合的怀疑度最大值赋值为该条语句的怀疑度.

(4) 生成错误定位报告: 依据程序语句的怀疑度大小, 降序排列生成程序语句排名表. 开发人员可以根据排名表从上至下查找并修正程序错误.

表1 常用怀疑度公式

名称	表达式
Ochiai ^[17]	$Sus(m) = \frac{a_{kf}}{\sqrt{(a_{kf} + a_{nf})(a_{kf} + a_{kp})}}$
Tarantula ^[18]	$Sus(m) = \frac{\frac{a_{kf}}{a_{kf} + a_{np}}}{\frac{a_{kf} + a_{kp}}{a_{kf} + a_{np}}}$
Dstar ^[19]	$Sus(m) = \frac{a_{kf}^*}{a_{kp} + a_{nf}}$

基于上述过程的描述,我们可以发现 MBFL 是基于“大部分失败测试用例杀死的变异体与程序错误有关”假设的研究工作,其理论基础是基于以下两类假设^[20]:

- (1) 将变异体视为是原被测程序的一种潜在修复;
- (2) 将变异体视为原被测错误程序的近似版本。变异体执行测试用例后的状态有两种:杀死(killed)和未杀死(not killed)。其中,杀死状态分为:被失败测试用例杀死(a_{kf})和被通过测试用例杀死(a_{kp})。在被失败测试用例杀死的变异体,存在两种情况:(1)变异体的状态从失败变成通过,即程序被修复;(2)变异体仍然为失败,但输出与原始程序不同。这两种情况都有助于揭示错误位置,第一种程序修复的情况,可以依据变异的位置来确定程序错误的位置。第二种情况,变异体的输出与原始程序不同,其有可能是对错误位置变异而造成的输出不同,此变异体的行为特征与错误程序更加相似。另一方面,被通过测试用例杀死的变异体,其更可能是对正确语句进行变异,造成输出与原始程序不同。并且,Moon 等^[9]的研究发现,错误语句生成的变异体在失败测试用例下更容易通过,而正确语句生成的变异体在通过测试用例下更容易失败。

同时,从表1 变异体怀疑度公式中可以看出,变异体的怀疑度值与 a_{kf} 呈正相关关系,与 a_{kp} 呈负相关关系。本文通过计算变异体 m 在测试用例上 a_{kf} 与 a_{kp} 的差值来度量该变异体对错误定位的影响程度,即贡献度 C (Contribution):

$$C(T, P, m) = a_{kf} - a_{kp} \quad (1)$$

其中, T 表示测试用例集, P 表示被测程序。 $C(T, P, m)$ 越高表示该变异体的贡献度越高。

同理,对变异体集合 M 的平均贡献度 AC (Average Contribution) 的计算公式为:

$$AC(T, P, M) = \frac{\sum_i^{|M|} C(T, P, m_i)}{|M|} \quad (2)$$

其中, $|M|$ 表示集合中变异体的数量。

目前研究人员对 FOMs 和 HOMs 之间的关系进行了研究。如 Gopinath 等^[21] 的研究表明许多 HOMs 与它们组成的 FOMs 在语义上是不同的。然而, Langdon 等^[22] 的研究表明被测试用例杀死的 HOMs 数量高于杀死 FOMs 的数量,因此 HOMs 相对于 FOMs, 更容易被测试用例检出。

在早期的研究中, Offutt 等^[15] 指出:杀死 n 阶变异体是否意味着我们可以检出复杂错误还有待确定。为了回答这个问题,我们是第一个进行关于比较 FOMs 和 HOMs 在定位程序错误上的控制实验的。

2.2 研究动机

在先前的研究中,大部分 MBFL 技术基于单错误假设^[5,9,13,23]。然而,实证研究表明^[24],单个程序失败往往是由系统中的多个故障触发的。Digiuisepp 和 Jones 发现,多个错误对错误定位的精度有负面影响^[25]。

此外,Offutt 的研究结果认为,杀死 n 阶变异体是否可以检测到复杂的错误还有待确定^[15]。在 Debory 和 Wong 的研究中^[26],他们发现他们所提出的策略不能修复同一个程序中的多个错误,是因为他们只考虑了 FOMs。换句话说,采用 HOMs 来定位或修复程序中的多个缺陷是一种潜在可行的方法。因此,本文主要通过实证研究 HOMs 在单错误和多错误程序上的定位效果,并分析多错误与 HOMs 之间的关系。

(1) HOMs 分类

依据变异体在程序中的不同变异位置,我们将 HOMs 分成 3 类。为便于理解这 3 类变异体,我们采用带有两个错误(f_1 和 f_2)的程序 p 作为例子。首先,我们 HOM_{f_1} 为变异了错误语句 f_1 的 HOMs 集合且 $HOM_{f_1} \in HOMs$; HOM_{f_2} 变异了错误语句 f_2 的 HOMs 集合且 $HOM_{f_2} \in HOMs$ 。

其次,如图 1 所示,我们将 HOMs 分为以下 3 类:

类 A: 准确高阶变异体 (Accurate HOMs)。即,同时在错误语句 f_1 和 f_2 上变异生成的 HOMs。 $(HOM_{f_1} \cap HOM_{f_2})$

类 B: 部分准确高阶变异体 (Partially accurate HOMs)。即,只在错误语句 f_1 或 f_2 上变异生成的 HOMs。 $(HOM_{f_1} \setminus HOM_{f_2}) \cup (HOM_{f_2} \setminus HOM_{f_1})$

类 C: 不准确高阶变异体 (Inaccurate HOMs)。即,在其他语句上变异生成的 HOMs。 $(HOMs \setminus (HOM_{f_1} \cup HOM_{f_2}))$

上述 3 种 HOMs 反映出不同 HOMs 的生成方法。我们推测这 3 类 HOMs 在错误定位上有不同的表现。

基于这种推测, 我们进行了一次大规模的实证研究来分析3类HOMs的特性。

(2) MBFL例子

为进一步说明我们的研究动机, 我们使用图2中的例子来说明FOMs和HOMs如何在MBFL上使用。

在图2中, 从左到右, 第1列为被测程序的源代码, 其中语句 s_4 和 s_{11} 为错误语句。第2列为对应语句生成的变异体集合, 第3列划分为6部分, 分别是6个测试用例在变异体上的执行信息, 其中“1”表示测试用例杀死对应的变异体, “0”表示测试用例没有杀死对应的变异体, 第4和第5列表示计算得到的变异体怀疑度和语句怀疑度, 最后一列表示对应语句的排名。在这个

例子中, 每一个变异体的怀疑度都是用Ochiai公式计算的。在图2中有两个给出的结果, 一个是FOMs的结果, 另一个是HOMs的结果。

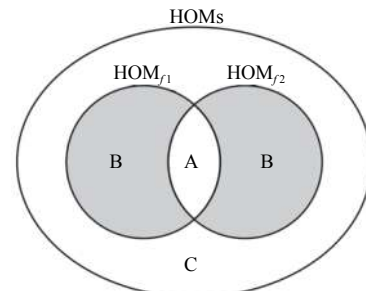


图1 HOMs分类

程序	FOMs	测试用例						FOMs	语句怀疑度	排名
		t_1 3,3,5	t_2 1,2,3	t_3 3,2,1	t_4 5,5,5	t_5 5,3,4	t_6 2,1,4			
1 int mid(int x, int y, int z) {	$FOM_1: x \rightarrow x - 1$ $FOM_2: y \rightarrow -y$	0 1	1 0	1 1	0 0	1 1	0 1	0.41 1.00	1.00	2
2 int m;										
3 m = z;	$FOM_3: z \rightarrow z + 1$ $FOM_4: z \rightarrow -z$	0 0	1 1	0 1	1 0	0 1	0 0	0.41 0.41	0.41	5
4 if(y < z - 1) //fault1. Correct: if(y < z)	$FOM_5: < \rightarrow \leq$ $FOM_6: < \rightarrow >$	0 1	1 1	0 1	0 0	0 1	0 1	0.82 0.33	0.82	3
5 if(x < y)										
6 m = y;										
7 else if(x < z)										
8 m = x;										
9 else										
10 if(x > y)	$FOM_7: > \rightarrow \geq$ $FOM_8: > \rightarrow ==$	1 1	1 0	1 1	0 0	1 1	0 1	0.41 1.00	1.00	2
11 m = -y; //fault2. Correct: m = y	$FOM_9: = \rightarrow +=$ $FOM_{10}: -y \rightarrow y$	1 0	1 1	1 1	1 1	1 0	1 0	0.82 0.82	0.82	3
12 else if(x > z)	$FOM_{11}: > \rightarrow \leq$ $FOM_{12}: > \rightarrow <$	0 1	0 1	1 1	0 1	0 1	1 1	+∞ 0.58	+∞	1
13 m = x;										
14 return m;}	$FOM_{13}: m \rightarrow -m$ $FOM_{14}: m \rightarrow 0$	0 0	1 1	1 0	0 1	1 0	0 0	0.71 0.71	0.71	4
	Result	P	F	F	P	F	P			
	HOMs分类	HOMs						测试用例	语句怀疑度	排名
1	Accurate HOMs	$HOM_1: FOM_5 + FOM_{10}$	0	1	1	0	1	0	1.00	0.80
2		$HOM_2: FOM_6 + FOM_9$	1	0	1	0	1	1	0.58	2
3		$HOM_3: FOM_5 + FOM_9$	0	1	1	0	1	0	1.00	0.72
4		$HOM_4: FOM_6 + FOM_{10}$	1	0	1	0	1	1	0.58	3
5	Partially accurate HOMs	$HOM_5: FOM_5 + FOM_7$	0	1	0	1	1	0	0.67	
6		$HOM_6: FOM_2 + FOM_{10}$	0	1	1	0	1	0	1.00	
7		$HOM_7: FOM_6 + FOM_{13}$	1	1	1	1	1	1	0.71	
8		$HOM_8: FOM_4 + FOM_9$	0	1	1	1	1	0	0.87	
9	Inaccurate HOMs	$HOM_9: FOM_3 + FOM_{11}$	0	1	0	0	0	0	0.58	
10		$HOM_{10}: FOM_7 + FOM_{13}$	1	1	1	0	1	1	0.77	6
11		$HOM_{11}: FOM_1 + FOM_{11}$	0	0	1	0	0	1	0.41	1
12		$HOM_{12}: FOM_4 + FOM_{14}$	1	1	1	1	1	1	0.71	0.84
13		$HOM_{13}: FOM_2 + FOM_6$	0	1	1	0	1	0	1.00	0.46
14		$HOM_{14}: FOM_7 + FOM_{12}$	0	1	0	1	0	0	0.41	0.73

图2 MBFL例子

使用FOMs进行错误定位。假设MBFL技术在失败测试用例覆盖的每条语句只生成两个变异体, 该程序下共生成14个FOMs(列“FOMs”所示)。MBFL首先利用测试用例的杀死信息计算FOMs的怀疑度(列“FOMs怀疑度”所示)。接下来, 同一语句生成的变异体中, 取最大的怀疑度记为该语句的怀疑度。最后, 在“排名”列中, MBFL将错误语句 s_4 和 s_{11} 都排在第3位。

使用HOMs进行错误定位。我们首先利用来自不同语句的两个FOMs构造HOMs, 最后生成3类共14条HOMs(列“HOMs”所示)。计算得到的HOMs怀疑度如

列“HOMs怀疑度”所示。接着, 为保证公平性, 我们通过计算语句相关HOMs怀疑度的均值作为该语句的怀疑度。以语句 s_1 为例, 与 s_1 相关的HOMs有3个(HOM_6 , HOM_{11} 和 HOM_{13}), 其对应的怀疑度分别为1.00, 0.41, 和1.00。因此, 计算得到的语句 s_1 的怀疑度为 $Sus(s_1)=(1.00+0.41+1.00)/3=0.80$ 。最终, 使用HOMs计算得到的语句怀疑度如列“语句怀疑度”所示。最终, HOMs将错误语句 s_4 和 s_{11} 分别排在第3名和第2名。

基于上述的例子, 我们可以发现FOMs将两条错误语句排在前五名, 然而HOMs将错误语句排在前三

名,表明HOMs在这个例子中有更好的错误定位效果.更进一步,在高阶变异错误定位中,三类变异体对错误定位有不同的贡献,结合式(2),准确HOMs的平均贡献度为:

$$AC(T, P, \text{Accurate}) = \frac{\sum_i^{|Accurate|} C(T, P, m_i)}{|Accurate|} = \frac{3+0+3+0}{4} = 1.5 \quad (3)$$

部分准确HOMs的平均贡献度为:

$$AC(T, P, \text{Part-accurate}) = \frac{\sum_i^{|Part-accurate|} C(T, P, m_i)}{|Part-accurate|} = \frac{1+3+0+2}{4} = 1.5 \quad (4)$$

不准确HOMs的平均贡献度为:

$$AC(T, P, \text{Inaccurate}) = \frac{\sum_i^{|Inaccurate|} C(T, P, m_i)}{|Inaccurate|} = \frac{1+1+0+0+3+0}{6} = 0.83 \quad (5)$$

从以上结果可以看出,准确HOMs的平均贡献度等于部分准确HOMs,不准确HOMs的平均贡献度最低.据我们所知,本文首次研究FOMs和HOMs在多错误程序上的定位效果.更进一步,我们研究了三类HOMs的错误定位效果并分析其差异.

3 实验设计

本章讨论实验中使用的程序和实验设计流程,用以解决提出的研究问题.图3中显示了实验研究设计流程.下面将依次介绍设计流程的每个部分.

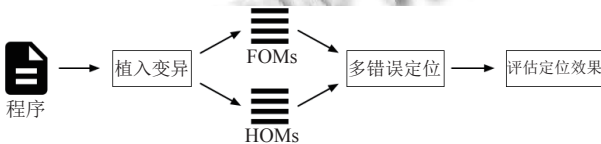


图3 实验设计流程

3.1 实验程序

本文选择了错误定位领域常用的软件基准程序库(Subject Infrastructure Repository, SIR)^[27]中的5个程序作为实验对象,分别为printtokens2, schedule2, totinfo, tcas和sed.这些程序均为开源的C程序,其中前4个程序来自西门子套件(Siemens Suite),sed是大型的真

实错误程序.实验中使用的错误版本和测试用例均可在SIR库中下载.这些程序在高阶变异测试领域中广泛使用^[12,28-30],同时也经常应用在错误定位等相关的研究中^[18,19,23,26].因此我们认为本文测试数据集所得出的结论具有一定的普适性.

表2列出了基准程序的具体信息,包括程序名称,程序所有的版本数量和实验中使用的数量,程序的平均代码行以及FOMs和HOMs的数量.其中,FOMs列的“生成的数量”子列表示对应程序生成的FOMs总数,而“使用”子列表示实验中实际运行的FOMs总数.本文共选择了63个单错误版本程序作为实验对象,部分版本因为错误语句无法生成有效变异体而导致测试用例无法检测出该版本的错误,或因为执行过程中出现异常,无法收集到完整的执行信息.

表2 实验基准程序及变异体信息

程序	版本 (使用)	行数	测试 用例	FOMs 生成 (使用)	HOMs 生成 (使用)
printtokens2	9(6)	508	4115	21864 (11548)	131184 (23892)
schedule2	10(4)	307	2710	8451 (4698)	50706 (8038)
totinfo	23(18)	406	1052	39351 (22476)	236106 (37254)
tcas	41(30)	173	1608	27245 (19062)	163470 (62991)
sed	9(5)	7125	360	64307 (32302)	385842 (47551)

3.2 生成变异体

为了研究FOMs和HOMs在单错误和多错误程序中的表现,实验首先需要生成FOMs和HOMs.在这个步骤中,我们收集被失败测试用例覆盖的程序语句,通过变异算子植入错误到这些语句,进而生成相应的变异体.表3列出了Agrawal等^[16]提出的10种经典C语言变异算子.

表3 经典C语言变异算子

变异算子	描述	例子
CRCR	必要的常数替换	$a = b + *p \rightarrow a = 0 + *p$
OAAN	算术运算符变异	$a + b \rightarrow a * b$
OAAA	算术赋值运算符变异	$a += b \rightarrow a -= b$
OCNG	否定谓词逻辑	$\text{if}(a) \rightarrow \text{if}(!a)$
OIDO	自增/自减变异	$++a \rightarrow a++$
OLLN	逻辑运算符变异	$a \&& b \rightarrow a b$
OLNG	否定逻辑	$a \&& b \rightarrow !(a \&& b)$
ORRN	关系运算符变异	$a < b \rightarrow a \leq b$
OBBA	位赋值运算符变异	$a \&= b \rightarrow a = b$
OBBN	位运算符变异	$a \& b \rightarrow a b$

对于生成FOMs,我们对fail测试用例覆盖的每条语句使用所有变异算子进行变异,每次只对一条语句变异,最终生成161218个FOMs.表2“FOMs”列

的“(使用)”子列中列出了每个程序所使用的 FOMs 数量。

对于生成高阶变异体，在已有高阶变异测试的研究中，对变异体阶数的研究有所不同，有关注于阶数较低（2 至 4 阶）的研究^[15, 28, 29, 31]，也有关注阶数较高（2 至 15 阶）的研究^[12, 32–35]。本文首次考虑将高阶变异体应用于多错误定位，然而在实际程序中错误数量是不可知的，因此结合前人的研究成果，我们选择生成 2 至 7 阶的变异体来模拟多错误情况。在此基础上，为了进一步探究不同变异位置的高阶变异体与错误定位的关系，我们依据不同的变异位置对变异体进行了划分，并通过理论和实验分析发现错误语句处生成的变异体（如准确 HOMs 和部分准确 HOMs）具有更优的错误定位效果。另一方面，考虑到 MBFL 巨大的执行开销，我们选择生成每阶 HOMs 的数量与 FOMs 数量相同来减少 HOMs 的数量。假设生成 1000 个 FOMs，然后 2 阶变异体和 3 阶变异体的数量也是 1000；因此最终生成的 HOMs 为 6000。在我们的实验中，采用一阶变异算子 FOP 构建 HOMs。具体来说，首先随机选择 k 条失败测试用例覆盖的语句，然后对每条选择的语句，随机选择一个与其相对应的一阶变异算子，最终生成一个 k 阶变异体。实验共生成 967 308 个 HOMs，其中实际使用的数量如表 2 所示（“HOMs”列的“(使用)”子列）。

3.3 构建多错误定位场景

为了构建实验中的多错误定位场景，我们通过随机组合 SIR 库中的原始单错误程序获得多错误程序。每个多错误程序中的错误数量是 2 到 5 个。最终生成 100 个版本的多错误程序。最后，依据多错误程序生成的变异体，运行变异体收集测试结果用于效果分析。

3.4 评估 MBFL 的效果

为了评估 FOMs 和 HOMs 在 MBFL 中的定位效果，我们使用了 3 种研究人员常用的评估指标^[36–39]。

(1) EXAM: EXAM^[36, 37] 是错误定位领域广泛使用的评价指标之一，用于评估开发人员找到准确错误位置之前需要检查的程序实体的比例，因此 EXAM 值越小表明对应的错误定位效果越好^[36, 37]。EXAM 的公式定义如下：

$$EXAM = \frac{rank}{\text{Number of executable statement}} \quad (6)$$

式(6)中，分子是错误语句的排名，分母是需要检查的

程序语句数量的总和。 $rank$ 的计算公式为：

$$rank = \frac{(i+1)+(i+j)}{2} \quad (7)$$

式(7)中， i 表示怀疑度值大于错误语句的正确语句的数量， j 表示怀疑度值等于错误语句的正确语句的数量。为更接近真实定位场景，我们选择第 $i+1$ 位排名与第 $i+j$ 位排名的平均作为错误语句的排名。

(2) Top-N: Top-N 用于评估排名前 N 个程序候选元素中，能定位到真实错误的个数^[38]。在 Kochhar 等的研究发现，73.58% 的开发者只检查排名前 5 的程序元素，并且几乎所有的开发者认为检查排名前 10 的程序元素是可接受的上限^[39]。因此，参考之前的研究^[36, 38]，我们将 N 设定为 1, 3, 5。同时，假设两条语句有相同的怀疑度，我们同样计算这些语句排名的平均值（如式(7)所示）。Top-N 越大表明对应的错误定位技术越好。

(3) MAP: MAP (Mean Average Precision) 是信息检索领域用于评估语句排序质量的指标，是所有错误平均精度的平均值^[40]。AP (Average Precision) 的计算公式如下：

$$AP = \sum_{i=1}^M \frac{P(i) \times pos(i)}{\text{number of faulty statements}} \quad (8)$$

式(8)中， i 是程序语句的排名， M 是排名列表中语句的总数， $pos(i)$ 是布尔函数， $pos(i)=1$ 表示第 i 条语句是错误的，反之 $pos(i)=0$ 表示第 i 条语句是正确的。 $P(i)$ 是每个排名 i 的定位精度。

$$P(i) = \frac{\text{number of faulty statements in top } i \text{ ranks}}{i} \quad (9)$$

MAP 是错误集合的 AP 的平均值，MAP 越大表明对应的错误定位技术越好。

4 实验结果

4.1 研究问题

为了评估 HOMs 是否能提高错误定位的精度，本文从错误定位精度角度出发，提出如下研究问题：

(1) RQ1: 与 FOMs 相比，不同阶数的 HOMs 的多错误定位精度如何？

(2) RQ2: 与 FOMs 相比，不同类型的 HOMs 的多错误定位精度如何？

4.2 实验结果

为探究 RQ1，我们首先针对多错误程序生成一阶

HOMs, 然后运行这些变异体计算得到每个程序对应的 EXAM, Top-N 和 MAP. 本文使用 Metallaxis-FL 为原始 MBFL 对照组, 并生成 2 阶到 7 阶的 HOMs.

图 4 中展示了 MBFL 使用 FOMs 和不同阶的

HOMs 的错误检查比例. x 轴表示代码检查比例, y 轴表示不同程序所有错误版本查找到的累积错误比例, 对应的曲线越接近 y 轴表明对应的变异体的检测错误数量越多, 因此对应的变异体错误定位效果更好.

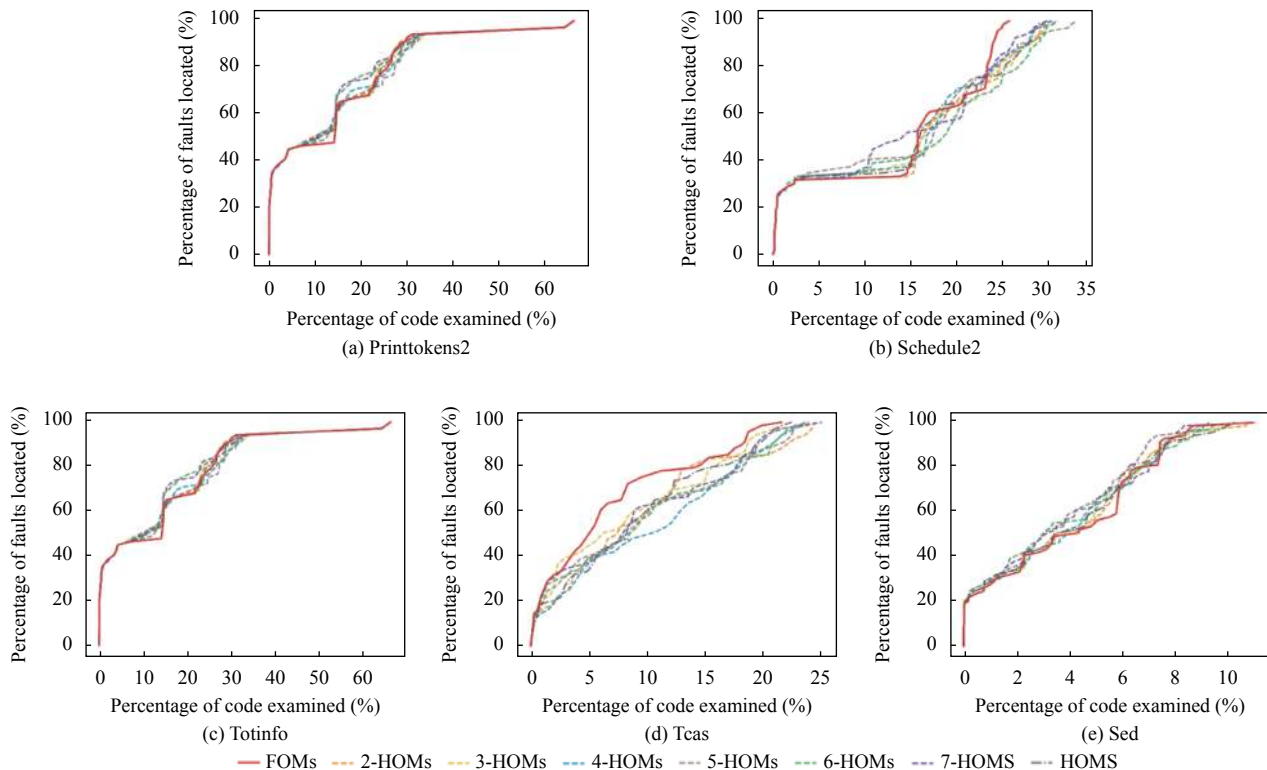


图 4 FOMs 与不同阶 HOMs 的代码检查比例比较

从图 4(a) 中可以看出, 7-HOMs 检测 20% 的程序代码能检测到 68% 的错误, 而 FOMs 只能检测到 55% 的错误. 同理, 在 schedule2, totinfo 和 sed 上可以看出, HOMs 检测更少的代码能检测到更多的错误, 但在 tcas 程序上 FOMs 的检测效果优于 HOMs.

从 Top-1, Top-3, Top-5 指标来看, FOMs 在 2 错误程序上的定位效果比 HOMs 更好, 而 HOMs 在 3 错误和 5 错误程序上的表现比 FOMs 更好. 表 4 中显示了 FOMs 和 HOMs 在多错误程序定位场景下排在前 1, 3, 5 位错误的数量. 图中包括 4 种错误数量的程序统计结果. 对 2 错误程序, FOMs 和各阶高阶变异体都将 19 个错误排在第一名. 除了 7-HOMs, FOMs 比其他阶数的 HOMs 的 Top-3, Top-5 要更高. 对 3 错误程序, 3-HOMs 比 FOMs 和其他阶数的变异体在 Top-3 和 Top-5 上更高. 同时 FOMs 在 4 错误程序中, Top-3 和 Top-5 上的

表现略优于 HOMs. 最后, 在 5 错误程序上, FOMs、6-HOMs 和 7-HOMs 的 Top-1 值最高, 而 6-HOMs 和 3-HOMs 分别在 Top-3 和 Top-5 上表现最好.

从 MAP 指标来看, FOMs 在 4 错误程序上表现最优, 在其他错误程序上与 HOMs 有相近的表现. 从表 5 可以看出, FOMs 在 4 错误程序上的 MAP 均值最高. 在其他错误程序上与 HOMs 有相近的表现, 例如 3 错误程序 FOMs 的 MAP 均值与 4 阶到 7 阶的变异体的 MAP 均值相同.

综上可以看出, HOMs 在一些程序上的检错能力优于 FOMs. 同时, FOMs 在 2 错误和 4 错误程序上的定位效果较好, 而 HOMs 在 3 错误和 5 错误程序上的效果更好. HOMs 在 3 错误和 4 错误程序上有更大的 Top-N 值, 并且在一些阶数的 HOMs 下, 计算的 MAP 均值都要高于 FOMs.

表 4 FOMs 和不同阶 HOMs 的 TOP-N 值比较

指标	程序	FOMs			2-HOMs			3-HOMs			4-HOMs			5-HOMs			6-HOMs			7-HOMs			HOMs				
		Top	1	3	5	1	3	5	1	3	5	1	3	5	1	3	5	1	3	5	1	3	5	1	3	5	
2错误	printtokens2		6	8	8	6	8	8	6	8	8	6	8	8	6	8	8	6	8	8	6	8	8	6	8	8	
	schedule2		4	6	6	4	6	6	4	6	6	4	6	6	4	6	6	4	6	6	4	6	6	4	6	6	
	totinfo		3	5	6	3	5	6	3	5	6	3	5	6	3	5	6	3	5	6	3	5	6	3	5	6	
	tcas		2	6	7	2	4	5	2	5	6	2	5	6	2	5	6	2	5	6	2	6	6	2	3	4	
	sed		4	5	5	4	5	5	4	5	5	4	5	5	4	5	5	4	5	5	4	5	5	4	5	5	
	Total		19	30	32	19	28	30	19	29	31	19	29	31	19	29	31	19	29	31	19	30	31	19	27	29	
3错误	printtokens2		5	8	9	5	8	9	5	8	9	5	8	9	5	8	9	6	8	8	6	8	8	5	8	9	
	schedule2		3	4	4	3	4	4	2	4	4	3	4	4	3	4	4	3	4	4	3	4	4	3	4	4	
	totinfo		4	5	6	4	5	6	4	5	6	4	5	6	4	5	6	4	5	6	4	5	6	4	5	6	
	tcas		5	5	5	4	5	5	5	5	6	5	5	6	5	5	5	5	5	5	5	5	5	6	4	5	6
	sed		3	1	1	3	2	2	2	2	2	3	1	1	3	1	1	3	1	1	3	1	1	3	1	1	2
	Total		20	23	25	19	24	26	18	24	27	20	23	26	20	23	25	20	23	25	20	23	26	19	23	27	
4错误	printtokens2		3	4	4	3	4	4	3	4	4	3	4	4	3	4	4	3	4	4	3	4	4	3	4	4	
	schedule2		3	4	5	3	4	5	3	4	5	3	4	5	3	4	4	3	4	5	3	4	5	3	4	5	
	totinfo		2	3	5	2	3	5	2	3	5	2	3	5	2	3	5	2	3	5	2	3	5	2	3	5	
	tcas		1	6	6	1	1	2	2	4	6	1	2	2	1	3	4	1	4	4	1	5	5	2	3	5	
	sed		3	4	4	3	4	4	3	4	4	3	4	4	3	4	4	3	4	4	3	4	4	3	4	4	
	Total		12	21	24	12	16	20	13	19	24	12	17	20	12	18	22	12	19	22	12	20	23	13	18	23	
5错误	printtokens2		2	3	3	2	3	3	2	3	3	2	3	3	2	3	3	2	3	3	2	3	3	2	3	3	
	schedule2		3	4	5	3	4	5	3	4	5	3	4	5	3	4	4	3	4	5	3	4	5	3	4	5	
	totinfo		2	3	5	2	3	5	2	3	5	2	3	5	2	3	5	2	3	5	2	3	5	2	3	5	
	tcas		3	4	5	2	2	4	0	2	9	0	0	2	1	4	5	3	5	6	3	4	7	2	2	3	
	sed		3	3	3	3	3	3	3	3	3	3	3	3	3	3	3	3	3	3	3	3	3	3	3	3	
	Total		13	17	21	12	15	20	10	15	25	10	13	18	11	17	21	13	18	23	13	17	23	12	15	19	

表 5 FOMs 和不同阶 HOMs 的平均 MAP 值比较

类型	程序	FOMs	2-HOMs	3-HOMs	4-HOMs	5-HOMs	6-HOMs	7-HOMs	HOMs
2错误	printtokens2	0.0022	0.0022	0.0022	0.0022	0.0022	0.0022	0.0022	0.0022
	schedule2	0.0024	0.0024	0.0024	0.0024	0.0024	0.0024	0.0024	0.0024
	totinfo	0.0018	0.0018	0.0018	0.0018	0.0018	0.0018	0.0018	0.0018
	tcas	0.0042	0.0031	0.0033	0.0038	0.0036	0.0038	0.0039	0.0041
	sed	0.0001	0.0001	0.0001	0.0001	0.0001	0.0001	0.0001	0.0001
Average		0.0021	0.0019	0.0020	0.0021	0.0020	0.0021	0.0021	0.0021
3错误	printtokens2	0.0015	0.0015	0.0015	0.0015	0.0015	0.0015	0.0015	0.0015
	schedule2	0.0010	0.0010	0.0010	0.0010	0.0010	0.0010	0.0010	0.0010
	totinfo	0.0015	0.0015	0.0015	0.0015	0.0015	0.0015	0.0015	0.0015
	tcas	0.0041	0.0032	0.0032	0.0041	0.0041	0.0041	0.0040	0.0040
	sed	0.0000	0.0000	0.0000	0.0000	0.0000	0.0000	0.0000	0.0000
Average		0.0016	0.0014	0.0014	0.0016	0.0016	0.0016	0.0016	0.0016
4错误	printtokens2	0.0007	0.0007	0.0007	0.0007	0.0007	0.0007	0.0007	0.0007
	schedule2	0.0010	0.0010	0.0010	0.0010	0.0010	0.0010	0.0010	0.0010
	totinfo	0.0007	0.0007	0.0007	0.0007	0.0007	0.0007	0.0007	0.0007
	tcas	0.0014	0.0012	0.0010	0.0013	0.0010	0.0011	0.0011	0.0013
	sed	0.0000	0.0000	0.0000	0.0000	0.0000	0.0000	0.0000	0.0000
Average		0.0008	0.0007	0.0007	0.0007	0.0007	0.0007	0.0007	0.0007
5错误	printtokens2	0.0004	0.0004	0.0004	0.0004	0.0004	0.0004	0.0004	0.0004
	schedule2	0.0007	0.0007	0.0007	0.0007	0.0007	0.0007	0.0007	0.0007
	totinfo	0.0006	0.0006	0.0006	0.0006	0.0006	0.0006	0.0006	0.0006
	tcas	0.0017	0.0013	0.0014	0.0008	0.0005	0.0011	0.0017	0.0016
	sed	0.0000	0.0000	0.0000	0.0000	0.0000	0.0000	0.0000	0.0000
Average		0.0007	0.0006	0.0006	0.0005	0.0004	0.0006	0.0007	0.0007

由于 FOMs 只使用一次变异算子生成而 HOMs 使用多次变异算子生成。因此在对同一个程序变异生成等量变异体时, HOMs 有更大的概率变异到错误语句, 从而增大变异体被杀死的概率, 相应 a_{kf} 值也会更高, 则变异体怀疑度也越高, 最终计算的语句怀疑度也越高, 其定位效果也更优(如图 4(a), 图 4(c), 图 4(e); 表 4 “3 错误”行, “5 错误”行; 表 5 “3 错误”行, “5 错误”行)。但如果 HOMs 中更多变异体是对正确语句变异生成的, 那么相应的 a_{kp} 值会更高, 计算的语句怀疑度值也更高, 错误定位效果将更差。(如图 4(d); 表 4 “2 错误”行, “4 错误”行; 表 5 “2 错误”行, “4 错误”行)。综合比较可以得出 HOMs 在一定程度上能提高多错误定位的效果。

为探究 RQ2, 我们首先收集多错误程序所有版本下 3 类 HOMs 的 EXAM 值, 然后分别计算 Top-N 和 MAP 指标。为了便于展示, 我们将 3 类 HOMs 分别表示为“Accurate”(准确 HOMs), “Part-accurate”(部分准确 HOMs) 和“Inaccurate”(不准确 HOMs)。图 5 表示 MBFL 使用 FOMs 和 3 类 HOMs 在不同程序上所有版本的错误检查比例。从图 5(a)–图 5(c) 中可以看出 Accurate HOMs 与 FOMs 有相近的表现, 并且 Accurate HOMs 的检测效果优于 FOMs。而在 tcas 和 sed(图 5(d)、图 5(e)) 程序上, Part-accurate 的检测效果更好, 检查更少量的代码而找到更多的错误。同时在所有程序上, Inaccurate 的检测效果最差。

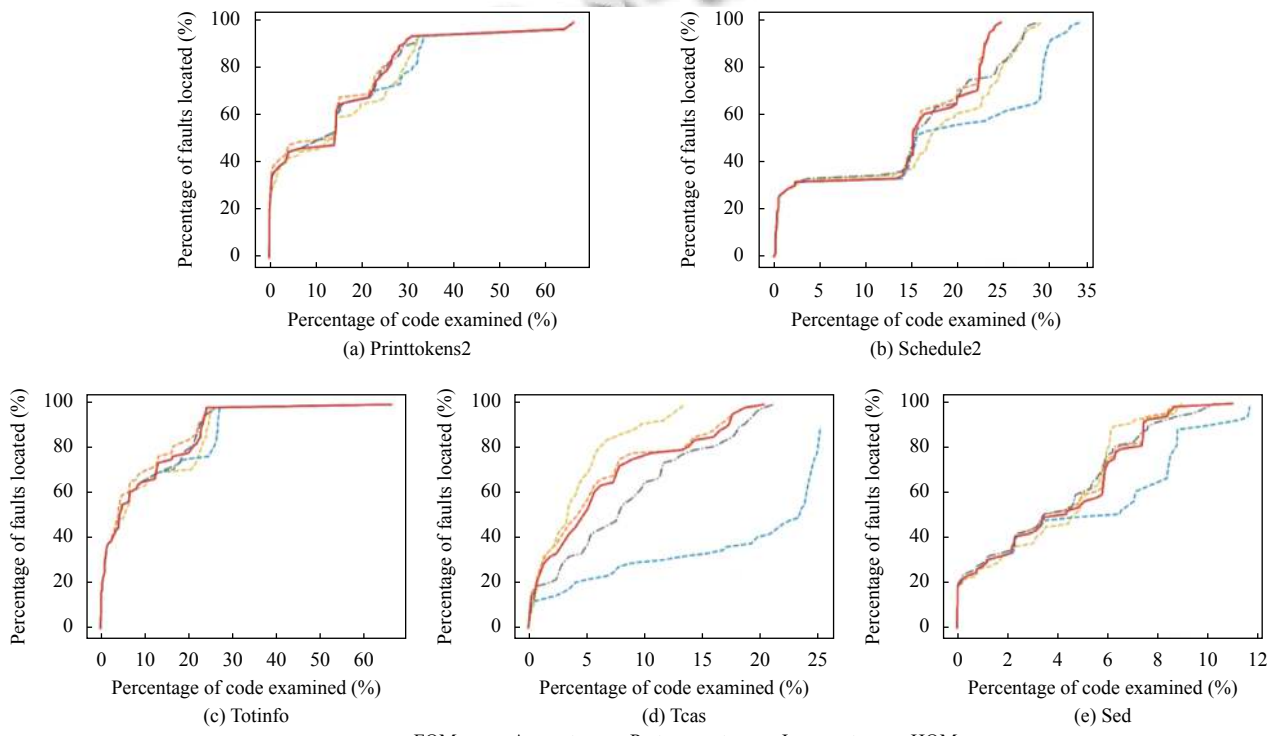


图 5 FOMs 与不同类 HOMs 代码检查比例比较

从 Top-N 指标来看, 准确 HOMs 比 FOMs 和另外两类变异体能将更多错误排在前 1, 3, 5 名。表 6 中显示, 在 2 错误程序上, 准确变异体与 FOMs 能够排列相同数量的错误在 Top-1, Top-3 和 Top-5, 而在其他错误程序版本中, 准确 HOMs 的 Top-N 指标均为最大。同时可以发现, 部分准确 HOMs 在 4 错误和 5 错误程序上, 有更高的 Top-5 值。然而不准确 HOMs 的表现最差。

从 MAP 指标来看, 准确 HOMs 的表现同样优于

FOMs, 部分准确和不准确 HOMs。表 7 中准确 HOMs 与 FOMs 在 2 错误程序下有相同 MAP 平均值, 而在 3, 4, 5 错误程序下, 准确 HOMs 仍然比另外两类变异体的定位效果好, 其 MAP 平均值分别为 0.0017, 0.0009, 和 0.0008。

综上所述我们可以发现, 准确 HOMs 的错误定位精度高于 FOMs、部分准确 HOMs 和不准确 HOMs。在一些情况下, 部分准确 HOMs 有更好的定位效果, 但普遍情况下不准确 HOMs 的表现都很差。

表6 FOMs 和不同类 HOMs 的 Top-N 值比较

类型	程序	Top	FOMs			Accurate			Part-accurate			Inaccurate			HOMs		
			1	3	5	1	3	5	1	3	5	1	3	5	1	3	5
2错误	printtokens2		6	8	8	6	8	8	6	7	7	6	8	8	6	8	8
	schedule2		4	6	6	4	6	6	4	6	6	4	6	6	4	6	6
	totinfo		3	5	6	3	5	6	3	5	6	3	5	6	3	5	6
	tcas		2	6	7	2	6	7	2	6	6	2	2	4	2	3	4
	sed		4	5	5	4	5	5	4	4	5	4	5	5	4	5	5
3错误	Total		19	30	32	19	30	32	19	28	30	19	26	29	19	27	29
	printtokens2		5	8	9	6	9	10	5	6	6	5	8	9	5	8	9
	schedule2		3	4	4	3	4	4	3	4	4	3	4	4	3	4	4
	totinfo		4	5	6	4	5	6	4	5	6	4	5	6	4	5	6
	tcas		5	5	5	5	5	5	4	5	6	5	5	5	4	5	6
	sed		3	1	1	3	1	1	3	1	1	3	1	1	3	1	2
4错误	Total		20	23	25	21	24	26	19	21	23	20	23	25	19	23	27
	printtokens2		3	4	4	5	5	5	3	4	4	3	4	4	3	4	4
	schedule2		3	4	5	3	4	5	3	4	5	3	4	5	3	4	5
	totinfo		2	3	5	2	3	5	2	3	5	2	3	5	2	3	5
	tcas		1	6	6	1	7	7	2	6	8	1	1	1	2	3	5
	sed		3	4	4	3	4	4	3	4	4	3	4	4	3	4	4
5错误	Total		12	21	24	14	23	26	13	21	26	12	16	19	13	18	23
	printtokens2		2	3	3	2	3	3	2	3	3	2	3	3	2	3	3
	schedule2		3	4	5	2	4	5	3	4	5	3	4	5	3	4	5
	totinfo		2	3	5	2	3	5	2	3	5	2	3	5	2	3	5
	tcas		3	4	5	4	5	7	0	6	10	0	0	0	2	2	3
	sed		3	3	3	3	3	3	2	3	3	3	3	3	3	3	3

表7 FOMs 和不同类 HOMs 的 MAP 值比较

类型	程序	FOMs	Accurate	Part-accurate	Inaccurate	HOMs
2错误	printtokens2	0.0022	0.0022	0.0020	0.0022	0.0022
	schedule2	0.0024	0.0024	0.0024	0.0024	0.0024
	totinfo	0.0018	0.0018	0.0018	0.0018	0.0018
	tcas	0.0042	0.0042	0.0040	0.0028	0.0041
	sed	0.0001	0.0001	0.0001	0.0001	0.0001
	Average	0.0021	0.0021	0.0021	0.0019	0.0021
3错误	printtokens2	0.0015	0.0018	0.0012	0.0015	0.0015
	schedule2	0.0010	0.0010	0.0010	0.0010	0.0010
	totinfo	0.0015	0.0016	0.0015	0.0015	0.0015
	tcas	0.0041	0.0041	0.0034	0.0039	0.0040
	sed	0.0000	0.0000	0.0000	0.0000	0.0000
	Average	0.0016	0.0017	0.0014	0.0016	0.0016
4错误	printtokens2	0.0007	0.0010	0.0006	0.0007	0.0007
	schedule2	0.0010	0.0010	0.0010	0.0010	0.0010
	totinfo	0.0007	0.0007	0.0007	0.0007	0.0007
	tcas	0.0014	0.0016	0.0017	0.0007	0.0013
	sed	0.0000	0.0000	0.0000	0.0000	0.0000
	Average	0.0008	0.0009	0.0008	0.0006	0.0007
5错误	printtokens2	0.0004	0.0004	0.0004	0.0004	0.0004
	schedule2	0.0007	0.0007	0.0006	0.0007	0.0006
	totinfo	0.0006	0.0006	0.0006	0.0006	0.0006
	tcas	0.0017	0.0022	0.0012	0.0002	0.0016
	sed	0.0000	0.0000	0.0000	0.0000	0.0000
	Average	0.0007	0.0008	0.0006	0.0004	0.0006

三类 HOMs 由于其不同的生成机制,造成最终定位效果的差异。首先,准确 HOMs 准确变异错误语句,并且对正确语句不作任何变异,几乎能够被所有的失败测试用例杀死而不被通过测试用例杀死,其 a_{kf} 值高且 a_{kp} 值低,因此最终计算的错误语句的怀疑度值会高,其定位效果也就更优(如图 5,表 6,表 7)。其次,部分准确 HOMs 同时对错误语句和正确语句变异,会被部分失败测试用例和正确测试用例杀死。其定位效果取决于被失败测试用例杀死的比例,比例较高则定位精度高,比例较低则定位精度低。因此部分准确 HOMs 的定位效果存在波动(如图 5,表 6“5 错误”行,表 7)。最后,不准确 HOMs 只变异正确语句,不对错误语句进行变异,那么其更容易被正确测试用例杀死且不易被失败测试用例杀死,计算的错误语句的怀疑度较低,定位效果也就最差(如图 5,表 6,表 7)。因此生成一些特定的 HOMs,比如准确 HOMs,能有效提升多错误定位的精度。

5 结论与展望

为探究 HOMs 是否能提升多错误程序定位,本文进行了大规模的实证研究。研究结果发现, HOMs 在 3 错误和 5 错误程序上,有更高的错误定位精度。根据不同的变异位置,我们将 HOMs 分成 3 类。我们发现准确 HOMs 比 FOMs 和其他两类变异体有更好的多错误定位效果。因此, HOMs 在一定程度上能够提升多错误程序定位,并建议研究人员设计方法生成更有效的变异体,比如准确 HOMs。在后续的研究中,作者将研究新的策略用于选择有效提升多错误定位精度的变异体。同时考虑扩大实验数据集来验证 HOMs 对错误定位的影响。

参考文献

- 1 Howden WE. Theoretical and empirical studies of program testing. *IEEE Transactions on Software Engineering*, 1978, SE-4(4): 293–298. [doi: [10.1109/TSE.1978.231514](https://doi.org/10.1109/TSE.1978.231514)]
- 2 Zhang XY, He HF, Gupta N, et al. Experimental evaluation of using dynamic slices for fault location. *Proceedings of the 6th International Symposium on Automated Analysis-Driven Debugging*. Monterey, CA, USA. 2005. 33–42.
- 3 Wong WE, Gao RZ, Li YH, et al. A survey on software fault localization. *IEEE Transactions on Software Engineering*, 2016, 42(8): 707–740. [doi: [10.1109/TSE.2016.2521368](https://doi.org/10.1109/TSE.2016.2521368)]
- 4 Arrieta A, Segura S, Markiegi U, et al. Spectrum-based fault localization in software product lines. *Information and Software Technology*, 2018, 100: 18–31. [doi: [10.1016/j.infsof.2018.03.008](https://doi.org/10.1016/j.infsof.2018.03.008)]
- 5 Papadakis M, Le Traon Y. Metallaxis-FL: Mutation-based fault localization. *Software: Testing, Verification and Reliability*, 2015, 25(5–7): 605–628.
- 6 Keller F, Grunske L, Heiden S, et al. A critical evaluation of spectrum-based fault localization techniques on a large-scale software system. *Proceedings of 2017 IEEE International Conference on Software Quality, Reliability and Security (QRS)*. Prague, Czech Republic. 2017. 114–125.
- 7 Papadakis M, Le Traon Y. Using mutants to locate “unknown” faults. *Proceedings of the IEEE 5th International Conference on Software Testing, Verification and Validation*. Montreal, QC, Canada. 2012. 691–700.
- 8 Kooli M, Kaddachi F, Di Natale G, et al. Computing reliability: On the differences between software testing and software fault injection techniques. *Microprocessors and Microsystems*, 2017, 50: 102–112. [doi: [10.1016/j.micpro.2017.02.007](https://doi.org/10.1016/j.micpro.2017.02.007)]
- 9 Moon S, Kim Y, Kim M, et al. Ask the mutants: Mutating faulty programs for fault localization. *Proceedings of the IEEE 7th International Conference on Software Testing, Verification and Validation*. Cleveland, OH, USA. 2014. 153–162.
- 10 Papadakis M, Le Traon Y. Effective fault localization via mutation analysis: A selective mutation approach. *Proceedings of the 29th Annual ACM Symposium on Applied Computing*. Gyeongju, Republic of Korea. 2014. 1293–1300.
- 11 Pearson S, Campos J, Just R, et al. Evaluating and improving fault localization. *Proceedings of the IEEE/ACM 39th International Conference on Software Engineering (ICSE)*. Buenos Aires, Argentina. 2017. 609–620.
- 12 Jia Y, Harman M. Higher order mutation testing. *Information and Software Technology*, 2009, 51(10): 1379–1393. [doi: [10.1016/j.infsof.2009.04.016](https://doi.org/10.1016/j.infsof.2009.04.016)]
- 13 Liu Y, Li Z, Zhao RL, et al. An optimal mutation execution strategy for cost reduction of mutation-based fault localization. *Information Sciences*, 2018, 422: 572–596. [doi: [10.1016/j.ins.2017.09.006](https://doi.org/10.1016/j.ins.2017.09.006)]
- 14 Xue XZ, Namin AS. How significant is the effect of fault interactions on coverage-based fault localizations? *Proceedings of 2013 ACM/IEEE International Symposium on Empirical Software Engineering and Measurement*. Baltimore, MD, USA. 2013. 113–122.
- 15 Offutt AJ. Investigations of the software testing coupling effect. *ACM Transactions on Software Engineering and Methodology*, 1992, 1(1): 5–20. [doi: [10.1145/125489.125473](https://doi.org/10.1145/125489.125473)]
- 16 Agrawal H, DeMillo RA, Hathaway B, et al. Design of mutant operators for the C programming language. West Lafayette, IN, USA: Software Engineering Research Center, Purdue University, 1989, SERC-TR-41-P.
- 17 Abreu R, Zoeteweij P, Van Gemund AJC. An evaluation of

- similarity coefficients for software fault localization. Proceedings of the 12th Pacific Rim International Symposium on Dependable Computing (PRDC '06). Riverside, CA, USA. 2006. 39–46.
- 18 Jones JA, Harrold MJ, Stasko J. Visualization of test information to assist fault localization. Proceedings of the 24th International Conference on Software Engineering. Orlando, FL, USA. 2002. 467–477.
- 19 Wong WE, Debroy V, Gao RZ, et al. The DStar method for effective software fault localization. *IEEE Transactions on Reliability*, 2014, 63(1): 290–308. [doi: [10.1109/TR.2013.2285319](https://doi.org/10.1109/TR.2013.2285319)]
- 20 Shin D, Bae DH. A theoretical framework for understanding mutation-based testing methods. Proceedings of 2016 IEEE International Conference on Software Testing, Verification and Validation (ICST). Chicago, IL, USA. 2016. 299–308.
- 21 Gopinath R, Jensen C, Groce A. The theory of composite faults. Proceedings of 2017 IEEE International Conference on Software Testing, Verification and Validation (ICST). Tokyo, Japan. 2017. 47–57.
- 22 Langdon WB, Harman M, Jia Y. Efficient multi-objective higher order mutation testing with genetic programming. *Journal of Systems and Software*, 2010, 83(12): 2416–2430. [doi: [10.1016/j.jss.2010.07.027](https://doi.org/10.1016/j.jss.2010.07.027)]
- 23 Wang HF, Du B, He J, et al. IETCR: An information entropy based test case reduction strategy for mutation-based fault localization. *IEEE Access*, 2020, 8: 124297–124310. [doi: [10.1109/ACCESS.2020.3004145](https://doi.org/10.1109/ACCESS.2020.3004145)]
- 24 Hamill M, Goseva-Popstojanova K. Common trends in software fault and failure data. *IEEE Transactions on Software Engineering*, 2009, 35(4): 484–496. [doi: [10.1109/TSE.2009.3](https://doi.org/10.1109/TSE.2009.3)]
- 25 DiGiuseppe N, Jones JA. On the influence of multiple faults on coverage-based fault localization. Proceedings of 2011 International Symposium on Software Testing and Analysis. Toronto, ON, Canada. 2011. 210–220.
- 26 Debroy V, Wong WE. Combining mutation and fault localization for automated program debugging. *Journal of Systems and Software*, 2014, 90: 45–60. [doi: [10.1016/j.jss.2013.10.042](https://doi.org/10.1016/j.jss.2013.10.042)]
- 27 Do H, Elbaum S, Rothermel G. Supporting controlled experimentation with testing techniques: An infrastructure and its potential impact. *Empirical Software Engineering*, 2005, 10(4): 405–435. [doi: [10.1007/s10664-005-3861-2](https://doi.org/10.1007/s10664-005-3861-2)]
- 28 Jia Y, Harman M. Constructing subtle faults using higher order mutation testing. Proceedings of the 8th IEEE International Working Conference on Source Code Analysis and Manipulation. Beijing, China. 2008. 249–258.
- 29 Papadakis M, Malevris N. An empirical evaluation of the first and second order mutation testing strategies. Proceedings of the 3rd International Conference on Software Testing, Verification, and Validation Workshops. Paris, France. 2010. 90–99.
- 30 Wu F, Harman M, Jia Y, et al. Homi: Searching higher order mutants for software improvement. Proceedings of the 8th International Symposium on Search Based Software Engineering. Raleigh, NC, USA. 2016. 18–33.
- 31 Langdon WB, Harman M, Jia Y. Multi objective higher order mutation testing with genetic programming. Proceedings of 2009 Testing: Academic and Industrial Conference-Practice and Research Techniques. Windsor, UK. 2009. 21–29.
- 32 Omar E, Ghosh S, Whitley D. Constructing subtle higher order mutants for Java and AspectJ programs. Proceedings of the IEEE 24th International Symposium on Software Reliability Engineering (ISSRE). Pasadena, CA, USA. 2013. 340–349.
- 33 Nguyen QV, Madeyski L. On the relationship between the order of mutation testing and the properties of generated higher order mutants. Proceedings of 8th Asian Conference on Intelligent Information and Database Systems. Da Nang, Vietnam. 2016. 245–254.
- 34 Nguyen QV, Madeyski L. Searching for strongly subsuming higher order mutants by applying multi-objective optimization algorithm. In: Le Thi HA, Nguyen NT, Van Do T, eds. *Advanced Computational Methods for Knowledge Engineering*. Cham: Springer, 2015. 391–402.
- 35 Nguyen QV, Madeyski L. Empirical evaluation of multiobjective optimization algorithms searching for higher order mutants. *Cybernetics and Systems*, 2016, 47(1–2): 48–68.
- 36 Li X, Li W, Zhang YQ, et al. DeepFL: Integrating multiple fault diagnosis dimensions for deep fault localization. Proceedings of the 28th ACM SIGSOFT International Symposium on Software Testing and Analysis. Beijing, China. 2019. 169–180.
- 37 Zou DM, Liang JJ, Xiong YF, et al. An empirical study of fault localization families and their combinations. *IEEE Transactions on Software Engineering*, 2019. [doi: [10.1109/TSE.2019.2892102](https://doi.org/10.1109/TSE.2019.2892102)]
- 38 Le TDB, Lo D, Le Goues C, et al. A learning-to-rank based fault localization approach using likely invariants. Proceedings of the 25th International Symposium on Software Testing and Analysis. Saarbrücken, Germany. 2016. 177–188.
- 39 Kochhar PS, Xia X, Lo D, et al. Practitioners' expectations on automated fault localization. Proceedings of the 25th International Symposium on Software Testing and Analysis. 2016: 165–176.
- 40 Moffat A, Zobel J. Rank-biased precision for measurement of retrieval effectiveness. *ACM Transactions on Information Systems*, 2008, 27(1): 2.